

# CYP3A5\*3 多态性与髓系白血病风险关系的 Meta 分析

刘洪超 马利敏 周 茹 阮林海

**摘要** **目的** 综合评价细胞色素 P450 3A5 (CYP3A5\*3) 基因多态性与髓系白血病发生风险的关系。**方法** 全面检索 PubMed、中国生物医学文献数据库 (CBM)、中文期刊全文数据库 (CNKI) 和万方数据库, 收集探索 CYP3A5\*3 多态性与髓系白血病风险关系的病例对照研究, 纳入符合入选标准的文献, 应用 RevMan 5.2 软件对纳入研究进行异质性检验和效应值 OR 合并, 漏斗图评估发表性偏倚。**结果** 共纳入 5 篇文献, 包括患者 929 例, 对照 1080 例。异质性检验结果表明纳入研究间存在显著异质性, 采用随机效应模型合并数据。Meta 分析结果显示: CYP3A5 基因 \*1/\*3、\*3/\*3、(\*1/\*3 + \*3/\*3) 的合并 OR 及 95% CI 分别为 1.45 (0.91 ~ 2.32)、1.60 (0.89 ~ 2.85) 和 2.69 (0.86 ~ 8.38), 对应 P 值分别为 0.12、0.11 和 0.09。**结论** CYP3A5\*3 多态性与髓系白血病发生风险无相关性。

**关键词** 细胞色素 P450 3A5 多态性 髓细胞系 白血病 Meta 分析

[中图分类号] R733.7 [文献标识码] A

**Meta-analysis of CYP3A5\*3 Polymorphism and Myeloid Leukemia Risk.** Liu Hongchao, Ma Limin, Zhou Ru, et al. Medical College, Henan University of Science and Technology, Henan 471003, China

**Abstract Objective** To evaluate synthetically the relationship between CYP3A5\*3 polymorphism and myeloid leukemia risk. **Methods** Relevant literatures were extensively searched in PubMed, CBM, CNKI and wanfang database for collecting the case-control studies exploring the association of CYP3A5\*3 polymorphism with myeloid leukemia. The RevMan 5.2 software was applied for between-study heterogeneity test and ORs and their 95% CIs combination. Publication bias was assessed by funnel plot. **Results** Five related literatures were included in the meta-analysis, including 929 cases and 1080 controls. Based on the heterogeneity results, random-effects models were applied to calculate the combined ORs. The combined ORs (95% CIs) for CYP3A5\*1/\*3, \*3/\*3, (\*1/\*3 + \*3/\*3) genotypes were 1.45 (0.91 - 2.32), 1.60 (0.89 - 2.85) and 2.69 (0.86 - 8.38), respectively with  $P = 0.12, 0.11$  and  $0.09$ . No significant publication bias was detected by funnel plot. **Conclusion** CYP3A5\*3 polymorphism was not associated with the risk of myeloid leukemia.

**Key words** CYP3A5; Polymorphism; Myeloid; Leukemia; Meta-analysis

髓系白血病 (myeloid leukemia, ML) 是以髓系造血细胞异常增殖、分化障碍、凋亡受阻为特征的恶性克隆性疾病, 是成人白血病中最常见的类型, 其普遍存在获得性遗传学改变, 在临床及遗传学上均表现高度异质性<sup>[1]</sup>。白血病的病因及发病机制至今尚未完全清楚, 目前认为其发生是外界环境因素与内在遗传因素相互作用的结果。研究发现部分患者在分子遗传学水平存在异质性, 包括基因突变、基因表达谱异常、DNA 甲基化等, 存在一定的遗传易感性, 而机体内代谢酶系统的差异则是影响白血病易感性的重要基础之一<sup>[2,3]</sup>。

细胞色素 P450 酶系 (cytochrome P450, CYPs) 是自然界中含量最丰富、分布最广泛、底物谱最广的代

谢酶系统。CYPs 中含量最丰富的是 CYP3A 亚家族, 参与约 60% 的处方药、环境前致癌物、类固醇激素等的代谢。它主要包括 4 种成员: CYP3A4、CYP3A5、CYP3A7 和 CYP3A43, 它们串联排列于染色体 7q22.1 上约 231kb 的基因座内<sup>[4]</sup>。CYP3A5 基因在 10% ~ 97% 的人群中表达, 其表达及活性存在广泛的个体间、种族间差异, 被认为是个体间 CYP3A 代谢活性差异的最主要因素<sup>[5-7]</sup>, 而 CYP3A5 活性的差异主要是由单核苷酸多态性 (single nucleotide polymorphism, SNP) 所致, 其中位于第 3 号内含子的 6986 密码子 A > G (CYP3A5\*3) 是决定人群 CYP3A5 表达与活性的最主要因素, CYP3A5\*3 突变引起 mRNA 剪接发生改变, 终止密码子提前, 蛋白质截短, 导致 CYP3A5 酶活性降低或缺乏<sup>[7-9]</sup>。国内外已有较多探索 CYP3A5\*3 多态性与髓系白血病发生风险关系的研究, 但各研究结果存在一定争议。本研究采用 Meta 分析定量综合评估

作者单位: 471003 洛阳, 河南科技大学医学院 (刘洪超、周茹); 471003 洛阳, 河南科技大学第一附属医院血液科 (马利敏、阮林海)  
通讯作者: 马利敏, 电子信箱: liminm1990@163.com

CYP3A5\*3 多态性与髓系白血病易感性的关系,为髓系白血病的早期诊断提供循证医学依据。

资料与方法

1. 检索文献:全面检索 PubMed、中国生物医学文献数据库(CBM)、中文期刊全文数据库(CNKI)和万方数据库,获取探索 CYP3A5\*3 多态性与髓系白血病发生风险关系的文献。检索使用的中文关键词包括:CYP3A5 基因,基因多态性,白血病;英文检索词包括:Cytochrome P4503A5 or CYP3A5, polymorphism or variant, myeloid or myelogenous, leukemia。检索时间截止 2013 年 9 月 20 日,检索语种不限。各纳入文献有用的参考文献亦作为本研究入选文献。病例报道、评论、综述、系统评价类文献不作为纳入文献。

2. 文献纳入标准:纳入 Meta 分析的文献均符合以下标准:①原始资料为已公开发表的文献;②病例一对照研究方法;③病例组诊断明确,符合 ML 诊断标准;④病例组和对照组各基因型例数表达明确。两位研究者独立评价纳入文献质量,并提取文献基本资料,包括第一作者、出版年份、基因分型方法、样本量、病例组与对照组各基因型分布情况。如有争议

则共同复查原文后协商决定。

3. 统计学方法:本研究以 CYP3A5\*1/\*1 基因型频率为参考,以病例组和对照组 CYP3A5\*3 基因型分布的 OR 值为效应指标,对各纳入研究的原始数据进行合并分析。Q 检验评估纳入研究间的异质性,检验水准  $\alpha = 0.05$ ,如各研究间无显著异质性( $P > 0.05$ )则采用固定效应模型;如存在显著异质性( $P < 0.05$ )则采用随机效应模型合并数据。漏斗图评估发表性偏倚。应用 RevMan 5.2 软件进行上述统计分析。

结 果

1. 纳入文献的基本情况:经过文献检索和严格筛选,最终共纳入 5 个病例对照研究,包括 ML 患者 929 例,对照 1080 例。5 个研究均以亚洲人群为研究对象,均采用 PCR-RFLP 基因分型方法<sup>[10-14]</sup>。Rao 等<sup>[13]</sup>和 Sailaja 等<sup>[14]</sup>研究中对对照组 CYP3A5\*3 基因型分布不符合 Hardy-Weinberg 平衡。各纳入文献基本特征和原始数据见表 1。

表 1 纳入 Meta 分析文献的基本特征

作者	年份	国家及地区	种族	基因分型	样本量(病例/对照)	病例组 AA/AG/GG	对照组 AA/AG/GG	HWE
Bajpai	2010	印度	亚洲人群	PCR-RFLP	183/208	22/75/86	23/91/94	YES
Huang	2007	中国	亚洲人群	PCR-RFLP	48/120	6/15/27	30/41/49	YES
Liu	2002	中国台湾省	亚洲人群	PCR-RFLP	289/270	23/135/131	16/114/140	YES
Rao	2011	印度	亚洲人群	PCR-RFLP	144/241	12/84/48	124/71/46	NO
Sailaja	2010	印度	亚洲人群	PCR-RFLP	265/241	33/115/117	124/71/46	NO

PCR. 聚合酶链反应;RFLP. 限制性片段长度多态性;HWE. Hardy-Weinberg 平衡

2. CYP3A5\*1/\*3 基因型与 ML 关系:异质性检验结果  $P < 0.0001$ ,表明纳入研究间存在显著异质性,采用随机效应模型合并数据,合并 OR 及 95% CI

为 1.45 (0.91 ~ 2.32)。Z = 1.54, P = 0.120,表明 CYP3A5\*1/\*3 基因型与 ML 发生无关(图 1)。

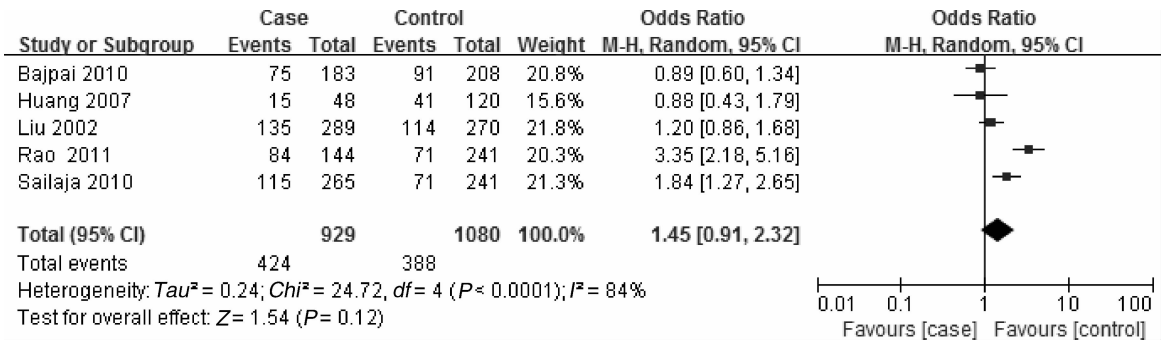


图 1 CYP3A5\*1/\*3 基因型与 ML 关系分析

3. CYP3A5\*3/\*3 基因型与 ML 关系:异质性检验结果  $P < 0.00001$ ,说明纳入研究间存在显著异质性,采用随机效应模型合并数据,合并 OR 及 95% CI

为 1.60 (0.89 ~ 2.85), Z = 1.58, P = 0.11,表明 CYP3A5\*3/\*3 基因型与 ML 发生无关(图 2)。

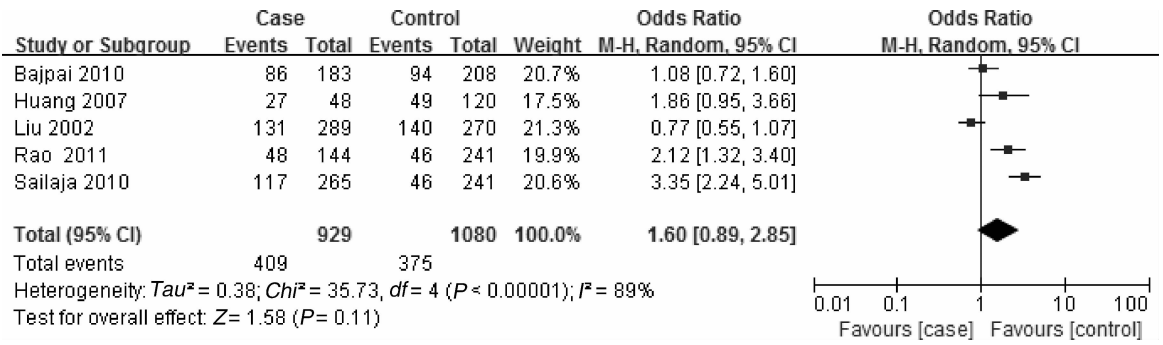


图2 CYP3A5 \*3/\*3 基因型与 ML 关系分析

4. CYP3A5 (\*1/\*3 + \*3/\*3) 基因型与 ML 关系: 异质性检验结果  $P < 0.00001$ , 采用随机效应模型合并数据, 合并 OR 及 95% CI 为 2.69 (0.86 ~

8.38),  $Z = 1.71$ ,  $P = 0.09$ , 表明 CYP3A5 (\*1/\*3 + \*3/\*3) 基因型与 ML 发生无关(图3)。

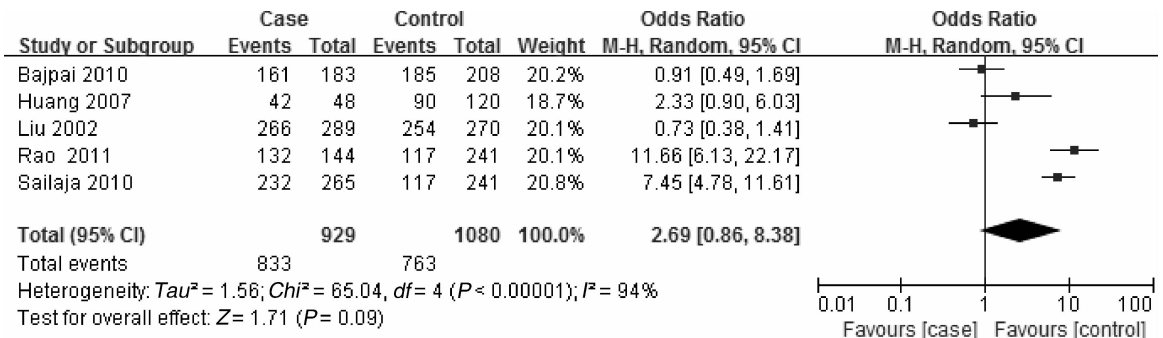


图3 CYP3A5 (\*1/\*3 + \*3/\*3) 基因型与 ML 关系分析

5. 发表性偏倚与敏感度分析: RevMan5.2 软件分析漏斗图中各点分布基本对称, 表明不存在显著发表性偏倚(漏斗图结果未示)。在敏感度分析过程, 通过删除 Rao 等<sup>[13]</sup>和 Sailaja 等<sup>[14]</sup>研究, 依据异质性检验结果重新合并分析, 结果显示与删除之前一致, 说明目前所得结果是稳定的(敏感度分析结果未示)。

讨 论

CYP3A 亚家族是机体内底物谱最广、含量最多的 I 相代谢酶, 亦是药物代谢反应中最主要的限速酶。CYP3A5 是 CYP3A 亚家族中主要的肝外分布形式, 如在肠壁、肾、前列腺和肺组织中表达。CYP3A5 基因位于人类第 7 号染色体 q21.1, 基因全长 31.8kb, 含有 13 个外显子, 编码蛋白含 502 个氨基酸<sup>[4]</sup>。CYP3A5 基因的表达与活性具有高度多态性, 存在广泛的个体及种族间差异, 提示 CYP3A5 基因的遗传变化可能是 CYP3A 介导的药物代谢及反应中出现个人、种族间差异最重要原因。CYP3A5 \*3 多态性是指在第 3 号内含子 6986 位点出现 A > G 突变, 从而出现 1 个隐含的受体剪接位点, 该位点促使基因内假外显子序列插入成熟 mRNA, 随后外显子缺失和

(或)其他基因内序列插入, 这些异常剪接导致终止密码子提前出现<sup>[8]</sup>。变异型 CYP3A5 \*3 mRNA 不稳定而迅速降解, CYP3A5 酶活性降低或缺乏, 因此 CYP3A5 \*3 多态性可能与人类肿瘤的发生相关。

国内外已有较多探索 CYP3A5 \*3 多态性与髓系白血病发生风险关系的研究, 但各研究结果存在一定差异。Meta 分析通过增大样本含量, 提高了检验效能和效应量估计精度, 定量综合不一致的研究结果, 得出更全面、更可靠的结论。本研究最终共纳入 5 篇文献包括 ML 患者 929 例, 对照 1080 例。异质性检验结果表明纳入研究间存在显著异质性, 采用随机效应模型合并数据。目前的 Meta 分析结果显示, CYP3A5 基因 \*1/\*3、\*3/\*3、(\*1/\*3 + \*3/\*3) 的合并 OR 及 95% CI 分别为 1.45 (0.91 ~ 2.32)、1.60 (0.89 ~ 2.85) 和 2.69 (0.86 ~ 8.38), 对应 P 值分别为 0.12、0.11 和 0.09, 表明 CYP3A5 \*3 多态性与髓系白血病发生风险无显著关联。

总之, 本研究表明 CYP3A5 \*3 多态性与髓系白血病发生风险无相关性, 且漏斗图未检测出显著性发表性偏倚, 敏感度分析结果说明目前的结论是可靠

的。需要指出的是,本研究纳入文献较少,在 Meta 分析过程中可能存在混杂因素等,会在一定程度上影响 Meta 分析结果。因此将来需要开展大样本量、多中心、设计良好的临床研究,及时全面收集最新研究资料,定期更新系统评价。

参考文献

1 Yanada M, Naoe T. Acute myeloid leukemia in older adults[J]. *Int J Hematol*, 2012,96(2):186-193

2 Martín - Subero JI, López - Oñín C, Campo E. Genetic and epigenetic basis of chronic lymphocytic leukemia[J]. *Curr Opin Hematol*, 2013,20(4):362-368

3 张娟,浦跃朴. 白血病环境危险因素与易感基因的研究进展[J]. *环境与职业医学*,2004,21(6):480-482,485

4 Gellner K, Eiselt R, Hustert E, et al. Genomic organization of the human CYP3A locus: identification of a new, inducible CYP3A gene [J]. *Pharmacogenetics*, 2001,11(2):111-121

5 Koch I, Weil R, Wolbold R, et al. Interindividual variability and tissue - specificity in the expression of cytochrome P450 3A mRNA[J]. *Drug Metab Dispos*, 2002,30(10):1108-1114

6 Huang W, Lin YS, McConn DJ, et al. Evidence of significant contribution from CYP3A5 to hepatic drug metabolism [J]. *Drug Metab Dispos*,2004,32(12):1434-1445

7 Kuehl P, Zhang J, Lin Y, et al. Sequence diversity in CYP3A promoters and characterization of the genetic basis of polymorphic CYP3A5 expression[J]. *Nat Genet*,2001,27(4):383-391

8 Busi F, Cresteil T. CYP3A5 mRNA degradation by nonsense - mediated mRNA decay[J]. *Mol Pharmacol*,2005,68(3):808-815

9 Langaee TY, Gong Y, Yarandi HN, et al. Association of CYP3A5 polymorphisms with hypertension and antihypertensive response to verapamil[J]. *Clin Pharmacol Ther*,2007,81(3):386-391

10 黄珍. CYP3A5 基因多态性与儿童急性白血病相关性研究 [D]. 苏州:苏州大学,2007

11 Bajpai P, Tripathi AK, Agrawal D. Genetic polymorphism of CYP3A5 in Indian chronic myeloid leukemia patients [J]. *Mol Cell Biochem*,2010,336(1-2):49-54

12 Liu TC, Lin SF, Chen TP, et al. Polymorphism analysis of CYP3A5 in myeloid leukemia[J]. *Oncol Rep*,2002,9(2):327-329

13 Rao DN, Manjula G, Sailaja K, et al. Association of CYP3A5 \* 3 polymorphism with development of acute leukemia[J]. *Indian J Hum Genet*,2011,17(3):175-178

14 Sailaja K, Rao DN, Rao DR, et al. Analysis of CYP3A5 \* 3 and CYP3A5 \* 6 gene polymorphisms in Indian chronic myeloid leukemia patients [J]. *Asian Pac J Cancer Prev*,2010,11(3):781-784

(收稿日期:2013-11-06)

(修回日期:2013-11-12)

# CPAP 对中重度 OSAHS 孕妇血压的影响

陆 波 沈海炜 李治美

**摘要 目的** 评估持续正压通气(CPAP)对中重度 OSAHS 孕妇睡眠质量和身心状况的影响。**方法** 通过 PSG 监测数据比较 CPAP 治疗前后各指标的差异,全天动态检测血压并调查治疗前后的身心状况。**结果** 经过为期 3 个月的 CPAP 治疗,患者睡眠得到明显改善( $P < 0.01$ )。全天各血压指标也有不同程度下降,身心状况同样改善( $P < 0.05$ )。**结论** CPAP 对孕妇身心状况的影响可能与其提高中重度 OSAHS 患者睡眠质量、降低患者血压有关。

**关键词** 持续正压通气 中重度 OSAHS 孕妇 疗效评估

[中图分类号] R56 [文献标识码] A

**Impact of CPAP on Moderating Blood Pressure of the Severe OSAHS Pregnant Women.** Lu Bo, Shen Haiwei, Li Zhimei. Department of ENT, Zhoushan Hospital, Zhejiang 316000, China

**Abstract Objective** To assess the impact of continuous positive airway pressure (CPAP) on sleep quality and physical and mental condition of moderate to severe OSAHS pregnant women. **Methods** The PSG monitoring data for each indicator before and after CPAP treatment were compared. Blood pressure all day was detected dynamically. Physical and mental conditions of the SCL-90 before and after treatment was analyzed. **Results** After three months of CPAP treatment, sleep quality of patients were significantly improved ( $P < 0.01$ ). All-day blood pressure also reduced, while mental condition improved as well ( $P < 0.05$ ). **Conclusion** Effects of CPAP on the physical and mental condition of pregnant women were related with their increase on sleep quality and reduction of blood pressure of patients.

**Key words** CPAP; Moderate to severe OSAHS; Pregnancy; Efficacy assessment

作者单位:316000 浙江省舟山医院耳鼻咽喉科

通讯作者:陆波,电子信箱:dhjyey@126.com